

نانو زئولیت-Y عامل دار شده با سولفونیک اسید و یون کلسیم:  
ساخت و بررسی عملکرد کاتالیستی آن در  
سنتز چهار جزئی بنزایمیدازولو پیریمیدو پیریمیدین ها

زهراء سیاڑزاده، مهدی کلهر<sup>\*\*</sup>، سید احمد میرشکرایی، قاسم رخانزاد  
گروه شیمی، دانشکده علوم پایه، دانشگاه پیام نور، تهران، ایران

**چکیده:** در این پژوهش، ابتدا زئولو سولفوریک اسید جامد ( $SO_3H@zeolite-Y$ ) از طریق واکنش زئولیت-با کلرو سولفونیک اسید به دست آمد. سپس یون های فلز کالسیم بر بستر زئولو سولفوریک از طریق روش جابه جایی فلز تشییت گردید ( $Ca/SO_3H@zeolite-Y$ ). ساختار و ریخت شناسی این نانومتاخطل جدید دو عاملی با استفاده از روش های دستگاهی *FT-IR*, *FESEM* و *BET* مورد بررسی و شناسایی قرار گرفت. در ادامه، فعالیت کاتالیستی آن در سنتز ترکیب های بنزایمیازول [1-*a*] پیریمیدین ها از طریق واکنش چهار جزئی ۲-آمینو بنزایمیدازول، سیانو استامید و دو مول آلدheyدهای آروماتیک گوناگون در شرایط سبز بررسی شد. از برتری های بارز این نانو کاتالیست، وجود مکان های اسید لویس ( $Ca^{2+}$ ) و بروونستد ( $SO_3H$ -) روی یک بستر جامد نانومتاخطل می باشد که این موضوع در سنتز های چند جزئی می تواند خیلی مهم و رهگشا باشد. سادگی روش کار، قابلیت بازیافت کاتالیست و جداسازی آسان محصول، بازده بالا و شرایط ملایم از دیگر برتری های این روش می باشد.

**واژگان کلیدی:** نانوکاتالیست، زئولیت/سولفوریک اسید، یون کلسیم، سنتز چهار-جزئی، ۲-آمینو بنزایمیدازول، پیر بیمبو و پیر بیمکنز.

**KEYWORDS:** Nanocatalyst, zeolite-Y/sulfuric acid, calcium ion, four-component synthesis, 2-amino benzimidazole, pyrimido pyrimidine

٤٥٩

افزایش بازده و گزینش بذیری واکنش اشاره کرد. اگرچه این ذره ها به دلیل اندازه و ساختار خاص خود که به راحتی در محیط واکنش حل نمی شوند، فعالیت کمتری نسبت به کاتالیست های همگن دارند. این محدودیت می تواند با استفاده از کاتالیست های متخلخل با سطح جذب بالا و افزایش سطح فعال آن ها به کمک نانوفناوری به حداقل پرسد. نانو کاتالیست های ناهمگن متخلف با داشتن نسبت سطح دمای مورد نیاز واکنش، به حداقل رساندن واکنش های جانبی، از موازین بنیادی و اهداف شیمی سبز، طراحی واکنش های سازگار با محیط زیست می باشد تا آسیب هایی که به علت مصرف مواد شیمیایی می رسد را به حداقل برساند. یکی از مسیرهای اصلی رسیدن به این مهم، استفاده از کاتالیست های ناهمگن در واکنش های شیمیایی است. از برتری هایی این کاتالیست ها، می توان به کاهش

+E-mail: mekalhor@pnu.ac.ir, mekalhor@yahoo.com

\* عهد و دار مکاتبات

تعداد زیادی از داروهای تجاری مانند مبندازول (ضد انگل) و آلبندازول (ضد کرم) و تیابندازول (ضد قارچ) وجود دارد. همچنین مشتق‌های این ساختار دارای فعالیت‌های ضد ویروسی، ضد قارچی و ضد HIV می‌باشند [۱۴]. با توجه به حضور مناسب حلقه پیریمیدین در ترکیب‌های زیستی انتظار می‌رود مشتق‌ها و یا ساختارهای جوش خوده به این حلقه هم، عملکرد مناسبی در ترکیب‌های فعال زیستی داشته باشند [۱۵-۱۷]. از مشتق‌های جوش خوده این حلقه، پیریمیدوپیریمیدین‌ها یا تترالان‌ها می‌باشند که با داشتن ۴ ایزومر تنواع ساختاری جالبی دارند. اخیراً با توجه به اهمیت و کاربردهای زیستی [۱۸-۲۳]، سنتز این ساختار دو حلقه‌ای مورد توجه دانشمندان زیادی بوده است بر این اساس، می‌توان به حضور حلقه پیریمیدو پیریمیدین در ساختار شیمیایی داروی دی‌پیریدامول (Dipyridamole) که به عنوان داروی ضد تشکیل لخته خون است [۱۱] اشاره نمود.

یکی دیگر از مشتق‌های سودمند پیریمیدین حلقه بنزایمیدازولو پیریمیدینو پیریمیدین است که طیف گستردگی از فعالیت‌های را زیستی دارند و در پژوهش‌های دارویی و کشاورزی و صنعت رنگ به کار برده شده‌اند [۲۴]. تاکنون، با توجه به اهمیت دارویی این ساختار چند حلقه‌ای هتروسیکلی، در سه گزارش، سنتز مشتق‌های آن، هدف پژوهش گران شیمی آلی بوده که با وجود داشتن برتری‌هایی از قبیل عدم استفاده از حلال و کاتالیست و یا استفاده از حلال آب [۲۴-۲۶]، برخی از آن‌ها دارای معاوی چون دمای بالای واکنش و عدم استفاده از حلال سبز می‌باشند. بنابراین، توسعه یک روش جدید سنتز مناسب یا بهبود شرایط روش‌های پیشین این ساختار چندحلقه‌ای با ارزش و شایسته به نظر می‌رسد. در این راستا، با نگاه به واقعیات فوق و در ادامه کارهای پژوهشی در این حوزه [۲۷-۳۰]، برآن شدیم که در پژوهش حاضر، طراحی و ساخت یک نانوکاتالیست جامد زئولیتی عامل‌دار شده با گروههای سولفوریک اسید-کلسیم (Ca/SO<sub>3</sub>H@zeolite-Y) و کارایی آن در سنتز آسان و چهار-جزی بنزایمیدازولو پیریمیدو پیریمیدین‌ها را در شرایط سبز گزارش کنیم (طرح ۱).

## بخش تجربی

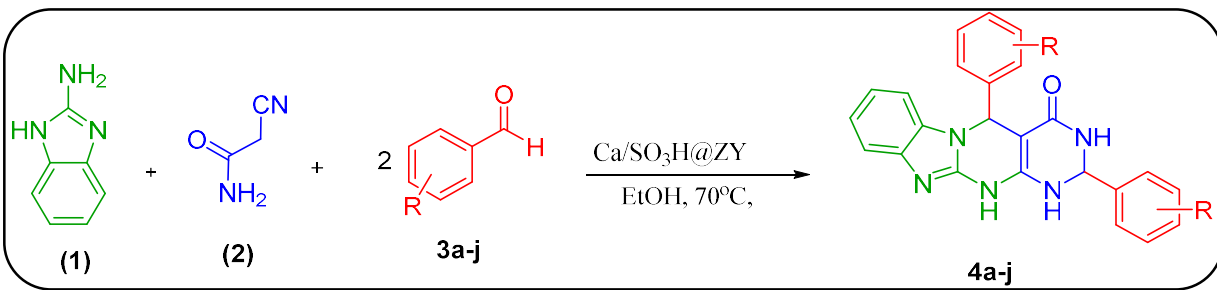
### مواد و دستگاه‌ها

در راستای انجام این کار پژوهشی از مواد شیمیایی مرک استفاده شد آنالیز فرسخ با استفاده از قرص پتاسیم بر می‌درد دستگاه FT-IR ساخت شرکت JASCO ۴۲۰۰ مدل ۷۴۰ ثبت شد. طیف‌های رزونانس مغناطیسی با دستگاه NMR ۵۰۰ مگاهرتز شرکت Bruker

به حجم بالا، سرعت انجام بسیاری از واکنش‌های شیمیایی را به طور چشمگیری افزایش داده و سرانجام به راحتی از فراورده واکنش جدا می‌شوند. از کاتالیست‌های متخلف با سطح جذب بالا، می‌توان به زئولیت‌ها اشاره کرد. زئولیت‌ها ساختارهای آلومینوسیلیکاتی با خلل و فرج‌های بسیار ریز می‌باشند. سطح جذب بالای آن‌ها باعث شده که کاربردهای فراوانی در صنعت، کشاورزی و همچنین زیست پژوهشی داشته باشند [۱]، به همین دلیل از زئولیت‌ها به عنوان سنگ‌های جادویی نیز نام برده شده است. از دیگر کاربردهای آنها در صنعت می‌توان به حذف فلزهای سنگین و آلاینده‌ها از آب و محیط زیست [۲]، جاذب گاز و بخارهای سمی [۳] و جاذب مشتق‌های نفتی [۴] اشاره کرد. همچنین زئولیت‌ها با داشتن ویژگی‌هایی از قبیل، توانایی تبادل کاتیون‌ها، پایداری گرمایی بالا، خاصیت آسیدی مناسب، عدم حلالیت در حلال‌های آلی در بسیاری از واکنش‌های شیمیایی به عنوان کاتالیست ناهمگن به کار برده می‌شود. به منظور استفاده بهینه از نانوکاتالیزگرهای زئولیتی، سطح آن‌ها را مورد اصلاح شیمیایی قرار می‌دهند. به طور مثال می‌توان با نشاندن کاتیون‌های چند‌طرفی قلیایی و یا گروه‌های عاملی آلی و معدنی بر روی زئولیت‌ها بر خاصیت آسیدی یا بازی و سرانجام کارایی، فعالیت و انتخاب‌پذیری این کاتالیست‌ها افزود [۵-۷].

امروزه یکی دیگر از حوزه‌های جذب پژوهشی در راستای شیمی سبز، واکنش‌های چندجزی می‌باشند. از برتری‌هایی ویژه این حوزه، به حداقل رساندن مرحله‌های انجام واکنش و ایجاد فراورده جانبی کمتر می‌باشد. با به کارگیری این واکنش‌ها می‌توان مولکول‌ها و داروهای پیچیده را از مواد ساده و ارزان، با خلوص و بازده بیشتر و در یک مرحله تولید نمود. از آن جایی که ساختار اصلی داروهای شیمیایی را ترکیب‌های هتروسیکلی تشکیل می‌دهد، امروزه می‌توان با به کارگیری واکنش‌های چندجزی، این ناجور‌حلقه‌ها را سنتز کرد. یکی از ساختارهای تک‌حلقه‌ای نیتروژن‌دار پیریمیدین می‌باشد. این ساختار تک‌حلقه‌ای با دو نیتروژن در موقعیت ۱ و ۳-در فراورده‌های طبیعی وجود دارد. به طور مثال تعدادی از بازهای آلی که در ساختار هتروسیکلی DNA و RNA (سامانه‌های انتقال و راثتی) شرکت دارند، دارای حلقه پایه پیریمیدین هستند. مشتق‌های این ساختار هتروسیکلی دارای ویژگی‌های دارویی و زیستی فراوانی می‌باشند که می‌توان به ضد مالاریا، ضد تومور و ضد درد اشاره کرد [۸-۱۳].

از طرفی، حلقه ۲-آمینو بنزایمیدازول نیز یکی از حلقه‌های خیلی مهم در صنعت داروسازی است که به طور گستردگی به عنوان جزء پایه در



طرح ۱ - روش سنتزی ترکیب های بنزایمیداولو پیریمیدو پیریمیدین

(۱ میلی مول)، -۲- آمینو بنزایمیداژول (۱ میلی مول) و ۵ درصد وزنی نانو کاتالیست (۶ میلی گرم)، به یک بالن دارای ۳ میلی لیتر حلال اتانول اضافه شده و در حمام رونگ در دمای ۷۰°C توسط همزن مغناطیسی مخلوط می شود. پیشرفت واکنش با کروماتوگرافی لایه نازک (TLC) در حلال اتیل استات و *n*-هگزان با نسبت ۲ به ۳ دنبال شد. پس از کامل شدن واکنش، جداسازی کاتالیست هتروژن در شرایط جوش حلال انجام گردید. سرانجام، خالص سازی فراورده های به دست آمده در اتانول داغ انجام شد. ساختار ترکیب ها با استفاده از داده های طیفی و مقایسه شاخصه های فیزیکی با منابع گزارش شده مورد تأیید قرار گرفتند.

### داده های طیف سنجی برشی از فراورده ها

**2,5-Diphenyl-2,3,5,12-tetrahydrobenzo[4,5]imidazo[1,2-*a*]pyrimido[4,5-*d*]pyrimidin-4(1*H*)-one (4a):** FT-IR (KBr)  $\nu_{\text{max}}$ : 3483, 3348 (NH), 2910 (CH), 1719 (C=O), 1637, 1458, (C=N, C=C) cm<sup>-1</sup>; <sup>1</sup>H NMR (500 MHz, DMSO-*d*<sub>6</sub>)  $\delta_H$ : 8.58 (s, 1H, NH), 7.76 (s, 1H, NH), 7.60–7.32 (m, 11H, H-Ar, and NH) 6.99 (d, *J* = 8.04 Hz, 2H, H-Ar), 6.58 (s, 1H, H-Ar), 6.08 (s, 1H, H-Ar), 5.70 (s, 1H, CH), 5.28 (s, 1H, CH) ppm; <sup>13</sup>C NMR (125 MHz, DMSO-*d*<sub>6</sub>)  $\delta_C$ : 163.7, 153.1, 142.6, 135.1 133.3, 132.6, 129.2, 128.5, 128.4, 128.3, 128.7, 121.1, 118.3, 115.7, 115.6, 110.5, 62.1, 59.9, 59.2 ppm.

**2,5-Di-*p*-tolyl-2,3,5,12-tetrahydrobenzo[4,5]imidazo[1,2-*a*]pyrimido[4,5-*d*]pyrimidin-4(1*H*)-one (4g):** FT-IR (KBr)  $\nu_{\text{max}}$ : 3453, 3351 (NH), 2921 (CH), 1710 (C=O), 1631, 1598, 1459 (C=N, C=C), 1290 (C-O) cm<sup>-1</sup>; <sup>1</sup>H NMR (500 MHz, DMSO-*d*<sub>6</sub>)  $\delta_H$ : 8.36 (s, 1H, NH), 7.74 (s, 1H, NH), 7.47 (d, *J* = 8.04 Hz, 2H, H-Ar), 7.26-7.19 (m, 6H, H-Ar and NH), 7.14 (d, *J* = 7.86 Hz, 2H, H-Ar), 6.95 (t, *J* = 7.63 Hz, 1H, H-Ar), 6.64 (t, *J* = 7.66 Hz, 1H, H-Ar), 6.01 (s, 1H, CH), 5.77 (d, *J* = 7.92 Hz, 1H, H-Ar), 5.20 (s, 1H, CH), 2.35 (s, 3H, CH<sub>3</sub>), 2.33 (s, 3H, CH<sub>3</sub>) ppm; <sup>13</sup>C NMR (125 MHz, DMSO-*d*<sub>6</sub>)  $\delta_C$ : 164.2, 153.6, 143.1, 139.8, 139.0, 133.2, 130.17, 130.2, 129.8, 129.3, 128.6, 121.5, 118.7, 116.1, 111.1, 62.2, 60.6, 59.3 ppm.

**2,5-Di-3-nitrophenyl-2,3,5,12-tetrahydrobenzo[4,5]imidazo[1,2-*a*]pyrimido[4,5-*d*]pyrimidin-4(1*H*)-one (4i):**

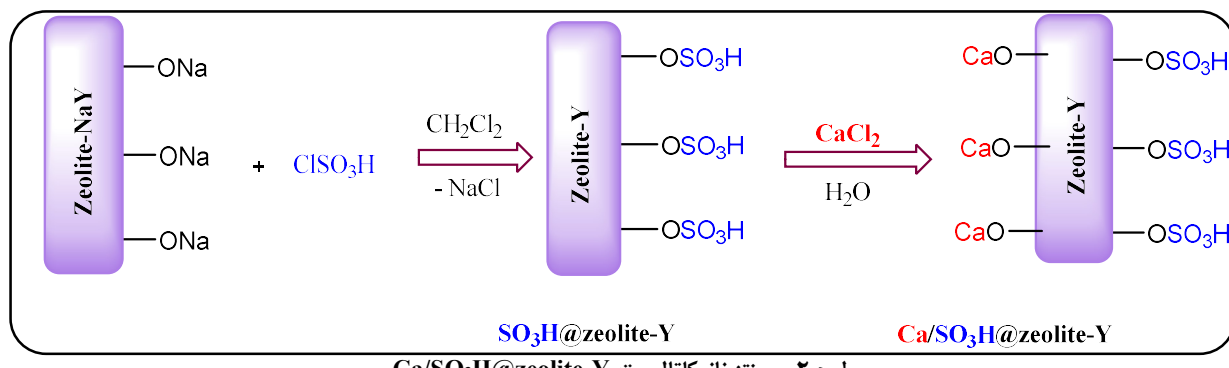
آلمان در حلal دی متیل سولفوکسید دوتره (DMSO-*d*<sub>6</sub>) گرفته شده است. طیف سنجی پراش انرژی پرتوایکس (EDX) با استفاده از دستگاه (XL30) شرکت فیلیپس و تصویرهای میکروسکوپ الکترونی روبشی نشر میدانی (FESEM) با دستگاه مدل MIRA III از شرکت TESCAN به دست آمد. همچنین همدمای جذب و واجدب نیتروژن (آنالیز BET) در دمای ۱۹۶ درجه سلسیوس با یک سامانه میکرومیرتکس (Micromeritics) (Micromeritics (03, Serial # 283. for TriStar II Plus Version 2 MicroActive) به دست آمد.

### روش تهیه نانو کاتالیست-Y

۱ گرم زئولیت NaY به ۲۰ میلی لیتر حلal دی کلرومتان در یک بالن دو دهانه ۱۰۰ میلی لیتری ریخته شد. سپس ۱/۵ میلی لیتر کلروسولفونیک اسید به صورت قطره قطره در مدت زمان ۲۰ دقیقه به مخلوط واکنش اضافه شد و تحت جو N<sub>2</sub> در صفر درجه سلسیوس به مدت ۲۵ دقیقه بر روی همزن مغناطیسی همzedه شد. در ادامه پس از شستشوی مخلوط واکنش در حلal دی کلرومتان و آب، در دمای ۵۰ درجه سلسیوس خشک شد تا نانو زئولوسولفوریک اسید به دست آید. سرانجام، ۱ گرم زئولوسولفوریک اسید در یک بالن ۱۵۰ میلی لیتری در دمای محیط به محلول آبی کلسیم کلرید (۲ میلی مولار، ۵۰ میلی لیتر) اضافه شد. این مخلوط به مدت ۲۰ ساعت هم زده و سپس با کمک سانتریفیوژ صاف شد. نانو ساختار هیبریدی اسید-فلز زئولیتی (Ca/SO<sub>3</sub>H@zeolite-Y) به مدت ۳۰ دقیقه تحت حمام فرماصوت برای حفظ ساختار نانویی قرار گرفته و به مدت ۲ ساعت در دمای ۷۰ درجه سلسیوس در آون خشک شد.

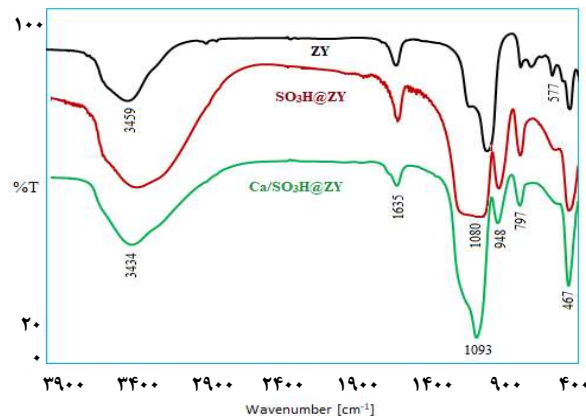
### روش عمومی سنتز مشتق های ۲ و ۵- آریل بنزایمیداولو پیریمیدو پیریمیدین

مخلوطی از ۲ میلی مول آلدید آروماتیک، ۲- سیانو استامید



ترتیب یک نانو هیبرید چندعاملی با اسیدیته قوی (لوئیس و بروونستد) ساخته شد. تعداد مکان‌های اسیدی بروونستد موجود در  $\text{Ca/SO}_3\text{H}@zeolite-\text{Y}$  با استفاده از روش تیتراسیون اسید-باز  $26.0 \pm 0.4$  میلی‌مول در گرم به دست آمد [۲۹] ساختار و ریختشناسی این نانوکاتالیست با فناوری‌های گوناگون مورد بررسی قرار گرفت که در ادامه به آن‌ها پرداخته می‌شود.

در اولین بررسی ساختار این کاتالیست برای تعیین گروه‌های عاملی طیف فروسرخ تبدیل فوریه (FT-IR) از این بستر زئولیت گرفته شد (شکل ۱). پیک ظاهر شده در ناحیه  $458 \text{ cm}^{-1}$  زئولیت، مربوط به پیوند خمثی Si-O می‌باشد که در هر سه طیف با تعییرهای کم قابل مشاهده است. قله‌های  $1021 \text{ cm}^{-1}$  و  $792 \text{ cm}^{-1}$  به ترتیب به ارتعاش‌های کششی متقارن و نامتقارن گروه‌های Si-O-Si نسبت داده می‌شود. همچنین ارتعاش خمثی OH با پیک  $1636 \text{ cm}^{-1}$  تأیید شد و ارتعاش کششی هیدروکسیل مربوط به پیوند Si-OH یا کششی OH آب در ناحیه  $3459 \text{ cm}^{-1}$  مشهود است. با افزوده شدن گروه  $\text{SO}_3\text{H}$ - روی بستر زئولیت اولیه، علاوه بر جابه‌جایی اندک پیک‌های اصلی، یک پیک در ناحیه  $942 \text{ cm}^{-1}$  ظاهر شده که می‌تواند به ارتعاش کششی S-O مربوط باشد. با مقایسه سه طیف و پهن شدگی قله‌ها، این نکته آشکار می‌شود که بعضی از شاخصه‌های گروه اسیدی با قله‌های ساختار زئولیت ترکیب شده و به صورت پیک مستقل ظاهر نشده است. نکته قابل توجه دیگر در طیفها، ظاهر شدن پیک در ناحیه‌های  $555$  و  $577 \text{ cm}^{-1}$  است که نشان می‌دهد با عامل دار شدن زئولیت، همچنان ساختار بلوری ماده اولیه حفظ شده است [۳۱]. مقایسه نمودارها در شکل یک نشان می‌دهد که ساختار اصلی زئولیت با عامل دار شدن به طور نسبی تعییر نکرده است و تنها برخی پیک‌های IR در طیف  $\text{Ca/SO}_3\text{H}@zeolite-\text{Y}$  به فرکانس بالاتر جابه‌جا شده‌اند. به طور مثال



شکل ۱ - طیف فروسرخ ساختارهای یزئولیت NaY-**ZY** و ساختار زئولوسولفوریک اسید و کاتالیزگر زئولوسولفوریک اسید / کلسیم

FT-IR (KBr)  $\nu_{\text{max}}$ : 3440 (NH), 2923 (CH), 1720 (C=O), 1634, 1598, 1458 (C=N, C=C), 1534, 1350 ( $\text{NO}_2$ )  $\text{cm}^{-1}$ ,  $^1\text{H}$  NMR (500 MHz, DMSO-d<sub>6</sub>)  $\delta_{\text{H}}$ : 8.67 (s, 1H, NH), 8.45-8.34 (br t, 3H, NH and H-Ar), 8.14-7.50 (m, 7H, H-Ar and NH), 7.27-6.98 (br d, 2H, H-Ar), 6.66 (br s, 1H, H-Ar), 6.36 (br s, 1H, H-Ar s,), 5.85 (s, 1H, CH), 5.22 (s, 1H, CH) ppm;  $^{13}\text{C}$  NMR (125 MHz, DMSO-d<sub>6</sub>)  $\delta_{\text{C}}$ : 163.1, 152.6, 144.5, 136.9, 135.1, 134.6, 132.4, 130.4, 130.2, 124.9, 124.3, 123, 121.5, 116.0, 114.9, 110.7, 80.9, 59.5, 58.2 ppm.

## نتیجه‌ها و بحث

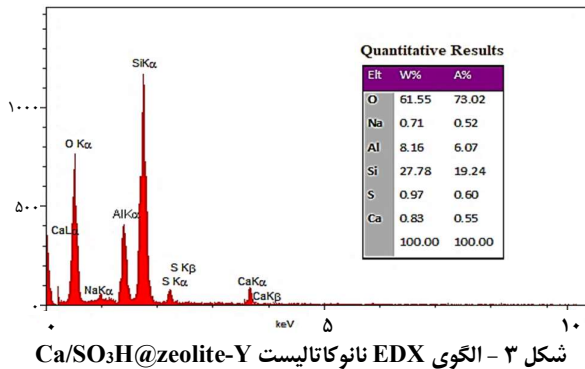
### شناسایی نانوکاتالیست Y

در این پژوهش، ابتدا زئولیت NaY با گونه‌های آلی و معدنی عامل دار شد. همان‌گونه که در طرح ۲ نشان داده شده است، زئولوسولفوریک اسید از روش واکنش کلروسولفونیک اسید با زئولیت NaY در حلal دی‌کلرومتان و شرایط گاز نیتروژن سنتز شد. سپس، یون‌های Ca(II) به کمک روش جابه‌جایی فلز با یون‌های Na بر روی  $\text{SO}_3\text{H}@zeolite-\text{Y}$  ثابت شده و به این

جدول ۱ - مقدارهای تخلخل سنجی برای زئولیت-Y، زئولوسولفوریک اسید و نانو هیبرید

P <sub>APS</sub> <sup>f</sup> (nm)	D <sub>Aap</sub> <sup>e</sup> (nm)	D <sub>BHJ</sub> <sup>d</sup> (nm)	V <sub>BHJ</sub> <sup>c</sup> (cm <sup>3</sup> /g)	S <sub>BET</sub> <sup>b</sup> (m <sup>2</sup> /g)	M <sup>a</sup> (%)	مواد
۱۳/۵۹	۲/۲۱	۶/۷۳	۰/۰۳۲۰	۴۴۱	-	Zeolite -NaY
۲۱/۰۶	۲/۳۵	۵/۱۵	۰/۰۵۳۲	۲۸۵	-	SO <sub>3</sub> H@ZY
۵۲/۴۵	۴/۴۸	۴/۴۵	۰/۰۳۴۶	۱۱۴	۱۵	Ca/SO <sub>3</sub> H@ZY

<sup>a</sup> درصد اولیه یون های کلسیم روی نانوکاتالیست (Initial percentage of manganese ions) <sup>b</sup> مساحت ویژه سطح بیرونی و داخلی نانو ساختار (Specific surface area) <sup>c</sup> قطر متوسط حفره (Pore size) <sup>d</sup> اندازه حفره (Pore diameter) <sup>e</sup> اندازه متوسط نانوذرهها (Average particle size (Estimated using the Temkin method))

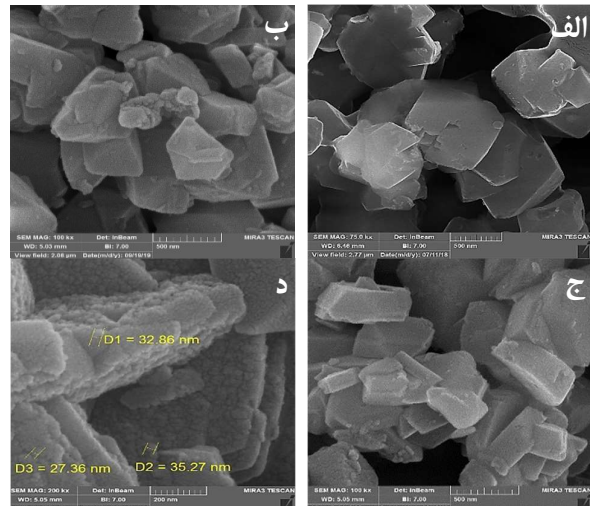


شکل ۳ - الگوی EDX نانوکاتالیست

شکل شماره ۳ بیانگر نمودار انرژی پراش پرتو ایکس (EDX) می باشد که رای بررسی و مطالعه بیشتر استفاده شده و حضور تمام عنصرهای تشکیل دهنده (S, Na, Al, Si, O, Ca) روی بستر نانوکاتالیست، در این شکل قابل دیدن است. همچنین از جدول ۳/۴۰ کمی مقدار عنصرهای سیلیسیم به آلومنیوم (Si/Al) حدود ۳/۴۰ به دست آمد که حفظ ساختار زئولیت تیپ Y را تایید می کند.

روش اندازه گیری سطح ویژه (BET) برای بزرگی میزان تخلخل و سطح ویژه کاتالیستها از اهمیت بالایی برخوردار است. مقدارهای پارامترهای ساختاری که با استفاده از آنالیز تخلخل سنج به دست آمده است در جدول ۱ خلاصه بندی شده است.

مقدار S<sub>BET</sub> نشان دهنده مجموع سطوح بیرونی ذره های زئولیت بوده و سطوح داخلی تحت عنوان حفره شناخته می شود. مقدار عددی S<sub>BET</sub> برای زئولیت به تنهایی برابر با ۴۴۱ m<sup>2</sup>/g، برای زئولوسولفوریک اسید برابر ۲۸۵ m<sup>2</sup>/g و برای نانوکاتالیست نهایی (Ca/SO<sub>3</sub>H@zeolite-Y) برابر با ۱۱۴ m<sup>2</sup>/g به دست آمد. کاهش سطح نانو کامپوزیت تهیه شده از طرفی نشان داد که فرایند تبادل یونی برای زئولیت ساختاری به خوبی انجام شده است و از سوی دیگر این کاهش می تواند به علت پرشدن حفره ها توسط گروه های عاملی آلی و فلز بزرگ تر کلسیم باشد [۲۹].

شکل ۲ - تصویرهای FESEM نانو ساختار (الف): زئولیت، (ب): زئولوسولفوریک اسید و (ج و د): Ca/SO<sub>3</sub>H@zeolite-Y

پیک های ۴۵۸، ۷۲۳ و ۱۰۲۱ cm<sup>-1</sup> در زئولیت NaY به ترتیب به Ca/SO<sub>3</sub>H@zeolite-Y، ۴۶۷ و ۷۹۷ cm<sup>-1</sup> در ۱۰۹۳ cm<sup>-1</sup> در Ca<sup>2+</sup> (کاتیون سنگین تر) را با یون Na<sup>+</sup> تأیید می کند. همچنین کاهش محسوسی در پیک ناحیه ۳۴۵۹ cm<sup>-1</sup> در زئولیت اولیه نسبت به زئولیت عامل دار شده (۳۴۳۴ cm<sup>-1</sup>) مشهود است [۳۲].

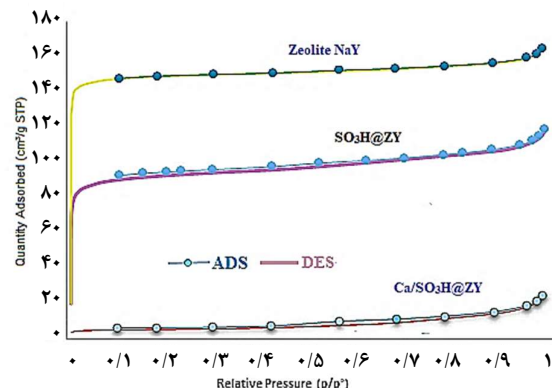
آنالیز میکروسکوپ الکترونی روبشی FESEM که بیانگر اندازه ذره ها، شکل و ریخت شناسی ساختار کاتالیست را نشان می دهد در شکل ۲ آورده شده است. این تصویرها نشان می دهد که این ساختار از نظر ریخت شناسی به صورت لایه با ذره ها یا حفره های زیاد می باشد. همچنین، شکل های این آنالیز اندازه ذره ها را بین ۲۷ تا ۳۵ نانومتر نشان می دهد. مقایسه تصویرهای زئولیت اولیه و دو مرحله عامل دار شدن نشان از حفظ ساختار نانوکاتالیست است.

بنزایمیدازول، سیانو استامید و بنزآلدئید، به عنوان یک واکنش الگو، به منظور تعیین نوع حلال و درصد مناسب کاتالیست استفاده شد. سپس تست‌هایی با حلال‌های گوناگون و مقدارهای متفاوت کاتالیست انجام شد که نتیجه‌ها در جدول ۲ قابل دیدن است. طبق داده‌های موجود در جدول، شرایط بهینه در حضور مقدار ۵ درصد وزنی (۶ میلی گرم) از کاتالیست  $\text{Ca}/\text{SO}_3\text{H}@\text{zeolite-Y}$  دمای ۷۰ درجه سلسیوس و حلال اتانول به دست آمد. این واکنش با استفاده از کاتالیست زئولوسلوفوریک بدون فلز و زئولیت NaY نیز انجام شد ولی بازده فراورده‌ها قابل توجه نبود، کاتالیست سنتزی در این گزارش با داشتن اسید لوئیس ( $\text{Ca}^{2+}$ ) و اسید بروونستد ( $\text{SO}_3\text{H}$ ) منجر به بدست آمدن نتیجه‌های بهتری گردید. همچنین انجام این واکنش در دمای محیط و شرایط بدون حلال نتیجه‌های رضایت‌بخشی را نشان نداد.

پس از بهینه کردن شرایط و یافتن روش کلی، این واکنش با استفاده از انواع آلدئیدهای آروماتیک با استخلاف‌های الکترون‌کشنده و الکترون‌دهنده انجام شد و بدین ترتیب فراورده‌های بنزایمیدازولو پیریمیدین با بازده خوب در حضور نانوکاتالیست اسیدی و در حلال اتانول سنتز شدند (طرح ۱). نتیجه‌های به دست آمده از سنتز مشتق‌های  $\text{Z}-\text{a}-\text{b}$  در جدول ۳ آورده شده است. تلاش برای سنتز ساختارهایی با استخلاف در موقعیت ۲ آلدئیدها انجام شد ولیکن به علت جلوگیری فضایی در این واکنش فراورده‌ای به دست نیامد.

سازوکار پیشنهادی واکنش ۲-سیانو استامید، آلدئید آروماتیک و ۲-آمینوبنزاکنیدازول برای سنتز بنزایمیدازولو پیریمیدین‌ها در طرح ۳ آورده شده است. ابتدا کاتالیست به عنوان اسید لوئیس یا بروونستد گروه کربونیل آلدئید و همزمان سیانو استامید را فعال کرده و با حذف یک مولکول آب باعث انجام تراکم نووناکل می‌شود (حد واسطه I). با وجود گروه‌های الکترون‌کشنده روی آلدئید و کم شدن دانسیته الکترونی حلقة، حمله هسته دوست آسان‌تر از زمانی است که گروه‌های الکترون‌دهنده روی آلدئید قرار داشته باشند. سپس از حمله هسته دوستی آمین به بیوند دوگانه حد واسطه (I)، طی افزایش مایکل و حلقة‌زایی درون مولکولی، ترکیب شماره (II) به دست می‌آید. در ادامه، مجدداً جفت الکترون آمین و آمید در حد واسطه (II)، طی حمله هسته دوستی به مرکز الکترون‌دوست کربونیل آلدئید دوم فعال شده توسط کاتالیست و حذف یک مولکول آب فراورده (۴a) تشکیل می‌شود.

(۱) Hysteresis

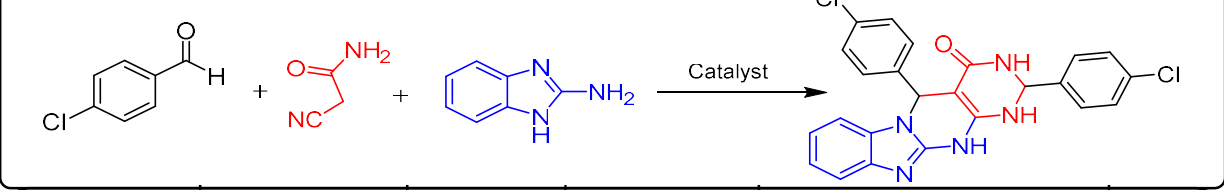


شکل ۴ - نمودار هم‌دما جذب و واجدب (BET) نانوساختار زئولیت  $\text{Z}-\text{a}-\text{b}$  زئولوسلوفوریک اسید و  $\text{SO}_3\text{H}@ZY$

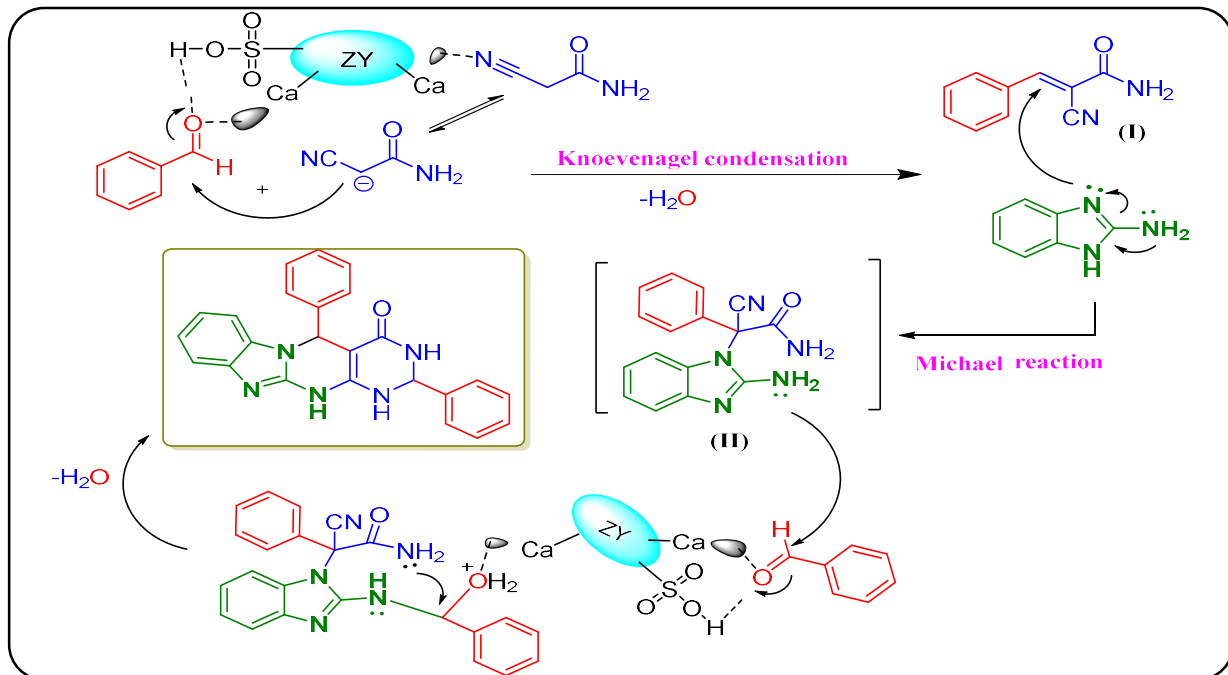
منحنی هم‌دما جذب/واجدب نیتروژن کاتالیست نانوزئولوسلوفوریک اسید-کلسیم و زئولیت اولیه و حد واسط در شکل ۴ نشان داده شده است. این منحنی برای زئولیت از الگوی منحنی هم‌دما نوع I پیروی می‌کند که مخصوص ترکیب‌های متخلخل بوده و قطر حفره‌های داخلی در آن‌ها زیر ۲ نانومتر می‌باشد، در حالی که برای کاتالیست نانوزئولیت اسیدی کلسیم‌دار از الگوی منحنی هم‌دما نوع IV پیروی می‌کند که دارای یک حلقه هیسترسیس<sup>۱</sup> کوچک هم بوده و طبق طبقه‌بندی آیوپاک مقدار  $\text{H}_1\text{O}$  آن در بازه  $0-90^\circ \text{P/P}^\circ$  می‌باشد. مشاهده حلقه هیسترسیسی در منحنی هم‌دما یک ماده، نشان‌دهنده وجود مزوحفره‌هایی با ابعاد  $2-50 \text{ nm}$  در ساختار آن ماده است و با مقایسه این حلقه‌ها با حلقه‌های هیسترسیسی مرجع، می‌توان به هندسه حفره‌های داخلی پی برد. نگاه به حلقه هیسترسیسی ایجاد شده در منحنی هم‌دما نانوبروس فراورده نهایی، شکل‌گیری ساختار لایه‌ای زئولیت با منافذ زیاد پس از تثبیت گروه عاملی سولفونیک و یون‌های کلسیم را روی بستر بهوضوح نشان می‌دهد. همچنین بررسی داده‌های نمودار توزیع اندازه حفره‌ها نشان می‌دهد که بیشتر حفره‌ها در اندازه  $3-10$  نانومتر می‌باشند و شکل نمودار، وجود سه تیپ حفره با اندازه کوچک، متوسط و بزرگ که مشخصه زئولیت نوع Y است را تایید می‌کند.

#### رفتار کاتالیستی $\text{Ca}/\text{SO}_3\text{H}@ZY$

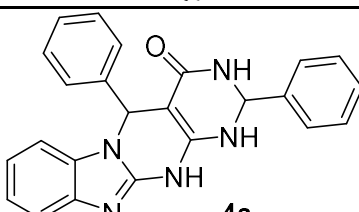
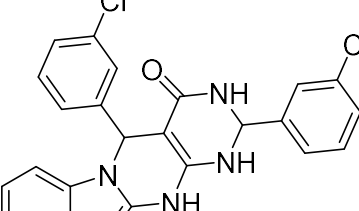
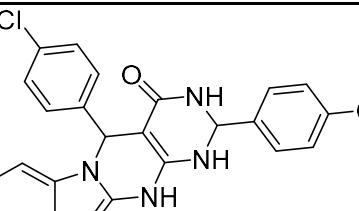
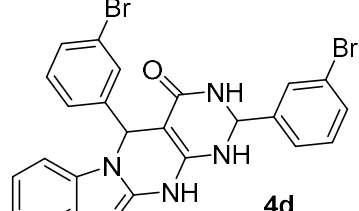
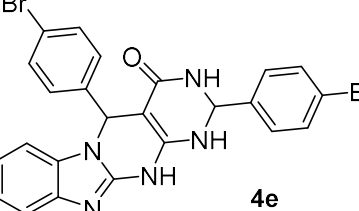
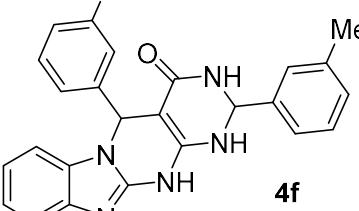
پس از سنتز و شناسایی نانوکاتالیست، بررسی فعالیت کاتالیستی نانوحفره جامد اسیدی فوق در تهیه آسان مشتق‌های بنزایمیدازولو پیریمیدو پیریمیدین انجام شد. ابتدا از واکنش مواد اولیه ۲-آمینو

جدول ۲ - بهینه سازی شرایط واکنش سنتز بنزاکلیدازول پیریمیدو پیریمیدین ها در حضور نانو کاتالیست Ca/SO<sub>3</sub>H@zeolite-Y


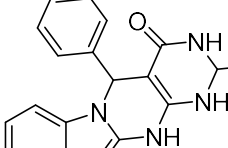
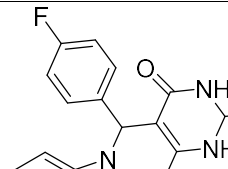
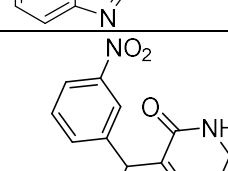
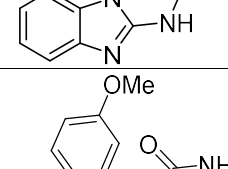
ردیف	کاتالیست (میلی گرم)	اتanol	دما (°C)	زمان (دقیقه)	بازده (%)
۱	(۶) Ca/SO <sub>3</sub> H@ZY	آب	۲۵	۲۴۰	-
۲	(۶) Ca/SO <sub>3</sub> H@ZY	آب	۵۰	۲۴۰	-
۳	(۶) Ca/SO <sub>3</sub> H@ZY	آب	۹۵	۱۲۰	۴۰
۴	(۶) Ca/SO <sub>3</sub> H@ZY	آب و اتانول	۷۰	۹۰	۴۵
۵	(۶) Ca/SO <sub>3</sub> H@ZY	اتanol	۷۰	۴۰	۸۸
۶	(۴) Ca/SO <sub>3</sub> H@ZY	اتanol	۷۰	۴۰	۷۵
۷	(۸) Ca/SO <sub>3</sub> H@ZY	اتanol	۷۰	۳۵	۸۸
۸	(۶) Ca/SO <sub>3</sub> H@ZY	اتanol	۵۰	۸۰	۵۰
۹	(۶) Ca/SO <sub>3</sub> H@ZY	استونیتریل	۷۰	۶۰	۴۵
۱۰	(۶) Ca/SO <sub>3</sub> H@ZY	تولوئن	۷۰	۶۰	-
۱۱	(۶) SO <sub>3</sub> H@ZY	اتanol	۷۰	۴۰	۵۰
۱۲	(۶) Zeolite-NaY	اتanol	۷۰	۱۲۰	-
۱۳	(۶) Ca/SO <sub>3</sub> H@ZY	-	۱۰۰	۶۰	۵۵
۱۴	-	-	۷۰	۴۰	۳۰

<sup>a</sup> فراورده جدادشدهطرح ۳ - سازوکار تهیه مشتق های بنزاکلیدازول پیریمیدو پیریمیدین در حضور Y Ca/SO<sub>3</sub>H@zeolite

جدول ۳ - سنتز ترکیب‌های  $\mathbf{J}$ - $\mathbf{a}$ – $\mathbf{f}$  از روش واکنش چهارجزئی ۲-سیانو استاتامید، الدهیدهای آروماتیک گوناگون و ۲-آمینو بنزاپیدازول در حضور ۵% وزنی (۶ میلی‌گرم) نانوکاتالیست  $(\text{Ca/SO}_3\text{H}@\text{zeolite-Y})$  و دمای  $70^\circ\text{C}$

شماره	فراورده	زمان (دقیقه)	بازدگ (%) <sup>a</sup>	نقطه ذوب تجربی ( $^\circ\text{C}$ ) (نقطه ذوب گزارش شده)
۱		۵۰	۸۵	۲۳۸–۲۴۰. b(۲۲۵–۲۲۳) <sup>[۱۷]</sup>
۲		۴۵	۹۰	۲۴۳–۲۴۴ (۲۳۷–۲۳۹) <sup>[۱۷]</sup>
۳		۴۰	۸۸	۲۳۰–۲۳۲ (۲۲۹–۲۳۱) <sup>[۱۷]</sup>
۴		۴۲	۸۴	۲۴۱–۲۴۲ (۲۳۶–۲۳۸) <sup>[۱۷]</sup>
۵		۴۵	۸۱	۲۳۸–۲۴۰. (۲۲۲–۲۲۴) <sup>[۱۷]</sup>
۶		۴۲	۸۰	۲۳۱–۲۳۳ (۲۳۰–۲۳۲) <sup>[۱۷]</sup>

ادامه جدول ۳- سنتز ترکیب‌های  $j$ -۴a از روش واکنش چهار جزئی ۲- سیانو استامید، آلدیده‌های آروماتیک گوناگون و ۲- آمینو بنزاپیمدازول در حضور ۵٪ وزنی (ع ملی‌گرم) نانو کاتالیست  $\text{Ca/SO}_3\text{H@zeolite-Y}$  و دمای  $70^\circ\text{C}$

شماره	فراورده	زمان (دقیقه)	<sup>a</sup> بازده (%)	نقطه ذوب تجربی (°C) (نقطه ذوب گزارش شده)
۷		۴۰	۷۵	۲۳۴-۲۳۶ (۲۲۸-۲۳۰) <sup>[۱۷]</sup>
۸		۴۰	۸۷	۲۳۲-۲۳۳ (۲۳۰) <sup>[۱۸]</sup>
۹		۴۰	۸۵	۲۳۴-۲۳۶ (۲۳۰-۲۳۲) <sup>[۱۸]</sup>
۱۰		۵۰	۸۳	۲۱۲-۲۱۴ (۲۲۴) <sup>[۱۹]</sup>

<sup>(a)</sup> فراورده جداسده <sup>(b)</sup> نقاط ذوب گزارش شده در منابع

نتیجہ گیری

در این پژوهه ما توانستیم برای اولین بار طراحی، سنتز و شناسایی یک نانوکاتالیست هیربیدی آلی-فلزی با تشییت گروه اسیدی سولفونیک و یون‌های کلسیم روی بستر آن از روش پیوند کوالانسی (Ca/SO<sub>3</sub>H@zeolite-Y) را با موفقیت انجام داده و بررسی کاربرد آن را در تهیه آسان فراوردها ۵،۲- آریل بنزایمیدازولپیریمیدو پیریمیدین‌ها از روش یک واکنش تراکمی تک-ظرفی چهار جزئی ۲- آمینو بنزایمیدازول، سیانو استامید و آلدھیدهای آروماتیک گوناگون در شرایط سبز گزارش نماییم. زمان کوتاه واکنش، بازده بالا، قابلیت بازیافت چندین باره کاتالیست و به دست آوردن فراورده خالص، به آسانی، این روش را در زمینه «شیمی سبز» قرار داده است.

فرایند بازیافت کاتالیست Ca/SO<sub>3</sub>H@zeolite-Y برای واکنش الگو آزمایش شد و نتیجه‌ها نشان داد که تکرار پذیری واکنش الگو تا بیش از پنج دوره، کاهش محسوسی در بازده و زمان انجام واکنش ایجاد نمی‌کند و این داده‌ها توانست پایداری و فعالیت این کاتالیست را ثابت نماید. به منظور بررسی کارایی روش ارایه شده برای سنتز فراورده‌های  $\text{z}-\text{a}_4$ ، مقایسه‌ای بین روش سنتزی حاضر با ۳ روش گزارش شده اخیر از نظر شرایط واکنش صورت گرفت (جدول ۴). همان‌گونه که در جدول مشاهده می‌شود با در نظر گرفتن بازده، زمان، مقدار مصرفی کاتالیست و سایر شرایط واکنش، روش حاضر کارایی بسیار خوبی در سنتز سبز فراورده‌های بتامیسانله به بمنتهی به بمنتهی دارد.

جدول ۴ - مقایسه روش‌های گواش شده برای سنتز مشتق‌های بنزایمیدازولوپیریمیدین

ردیف	کاتالیست	شرایط	زمان (ساعت)	بازدگ (%)	مرجع
۱	-	حلال آب رفلاکس	۲-۸	۸۰-۹۲	۱۸
۲	-	حلال دمای محیط-PEG400	۱-۱/۳	۸۸-۹۴	۱۷
۳	SO <sub>3</sub> H@SiO <sub>2</sub>	حلال اتیلن گلیکول دمای ۱۲۰ درجه	۱	۸۰-۹۹	۱۹
۴	Ca/SO <sub>3</sub> H@ZY	اتانول-۷۰	۰/۶۶	۹۰-۷۵	این پژوهش

همچنین این روش می‌تواند در سنتز این دسته از ترکیب‌ها با اهمیت زیستی به‌طور قوی مورد استفاده قرار گیرد.

### قدرتمندی

نویسنده‌گان مقاله از حمایت‌های دانشگاه پیام نور صمیمانه تشکر می‌نمایند.  
تاریخ دریافت: ۲۷/۰۲/۱۴۰۰؛ تاریخ پذیرش: ۲۲/۰۶/۱۴۰۰.

### مراجع

- [1] Bacakova L., Vandrovčová M., Kopová I., Jirka I., [Applications of ZEolites in Biotechnology and Medicine–A Review](#), *Biomaterials science.*, **6(5)**: 974-989 (2018).
- [2] اهالی آباده ز., ایران نژاد م., [بررسی مدل‌های سیتیکی و همدماiene حذف کادمیوم از محلول‌های آبی با کامپوزیت زئولیتی – آهنی](#), نشریه شیمی و مهندسی شیمی ایران، **(۱۳۹۵): ۱۱۱-۹۹**.
- [3] Mofarahi M., Gholipour F., [Gas Adsorption Separation of CO<sub>2</sub>/CH<sub>4</sub> System using Zeolite 5](#), *Microporous and Mesoporous Materials*, **200**: 1-10 (2014).
- [4] Mažeikiene A., Rimeika, M., Valentukevičiene M., Oškinis V., Paškauskaitė N., Brannvall E., [Removal of Petroleum Products from Water using Natural Sorbent Zeolite](#), *Journal of Environmental Engineering and Landscape Management*, **13(4)**: 187-191 (2005).
- [5] Khosravi K., Zendehdel M., Naserifar S., Tavakoli F., Khalaji K., Asgari A., [Heteropoly Acid/NaY Zeolite as a Reusable Solid Catalyst for Highly Efficient Synthesis of Gem-Dihydroperoxides and 1,2,4,5-Tetraoxanes](#), *J. Chem. Res.*, **40**: 744-749 (2016).
- [6] Kalhor M., Zar negar Z., [Fe<sub>3</sub>O<sub>4</sub>/SO<sub>3</sub>H@zeolite-Y as a Novel Multi-Functional and Magnetic Nanocatalyst for Clean and Soft Synthesis of Imidazole and Perimidine Derivatives](#), *RSC Advances*, **9(34)**: 19333-19346 (2019).
- [7] Estevez R., Iglesias I., Luna D., Bautista F.M., [Sulfonic Acid Functionalization of Different Zeolites and their use as Catalysts in the Microwave-Assisted Etherification of Glycerol with Tert-Butyl Alcohol](#), *Molecules*, **22(12)**: 2206 (2017).

- [8] Kumar D., Khan S.I., Tekwani B.L., Ponnai P., Rawat D.S., *4-Aminoquinoline-Pyrimidine Hybrids: Synthesis, Antimalarial Activity, Heme Binding and Docking Studies, European Journal of Medicinal Chemistry*, **89**: 490-502 (2015).
- [9] Cocco M.T., Congiu C., Onnis V., Piras R., *Synthesis and Antitumor Evaluation of 6-Thioxo-, 6-Oxo-and 2, 4-Dioxopyrimidine Derivatives, IL Farmaco.*, **56(10)**: 741-748 (2001).
- [10] Ashour H.M., Shaaban O.G., Rizk O.H., El-Ashmawy I.M., *Synthesis and Biological Evaluation of Thieno [2', 3': 4, 5] Pyrimido [1, 2-b][1, 2, 4] Triazines and Thieno [2, 3-d][1, 2, 4] Triazolo [1, 5-a] Pyrimidines as Anti-Inflammatory and Analgesic Agents, European Journal of Medicinal Chemistry.*, **62**: 341-351(2013).
- [11] Nielsen-Kudsk F., Pedersen A.K., *Pharmacokinetics of Dipyridamole, Acta Pharmacologica et Toxicologica*, **44(5)**: 391–9 (1979).
- [12] Masur H., Brooks J.T., Benson C.A., Holmes K.K., Pau A.K., Kaplan J.E., *Prevention and Treatment of Opportunistic Infections in HIV-Infected Adults and Adolescents, Clinical Infectious Diseases*, **58(9)**: 1308–1311 (2014).
- [13] Moore A.Y., *Clinical Applications for Topical 5-Fluorouracil in the Treatment of Dermatological Disorders, The Journal of Dermatological Treatment*, **20(6)**: 328–335 (2009).
- [14] Nawrocka W., Sztuba B., Kowalska M.W., Liszkiewicz H., Wietrzyk J., Nasulewicz A., Pełczyńska M., Opolski A., *Synthesis and Antiproliferative Activity in Vitro of 2-Aminobenzimidazole Derivative, IL Farmaco*, **59**: 83–91 (2004).
- [15] Shahi M., Foroughifar N., Mobinikhalegi A., *Synthesis and Antimicrobial Activity of some Tetrahydro Quinolone Diones and Pyrano[2,3-d]Pyrimidine Derivatives, Iranian Journal of Pharmaceutical Research*, **14**: 757-763 (2015).
- [16] Mobinikhalegi A., Foroughifar N., Moghanian H., Jaberia H.R., *One-pot Synthesis of Some Novel 2-[*Z*-1-(Aryl)]-6,7-dihydro-2H-istohiazolo[2,3-a]pyrimidine-3(5H)-one Derivatives, Organic Chemistry Research*, **4(1)**: 95-99 (2018).
- [17] Abaszadeh, M., Seifi M., *KF/Al<sub>2</sub>O<sub>3</sub>: As a Solid Phase and Recyclable Basic Catalyst for Synthesis Mono and Bis Pyrimidine Derivatives, Iran. J. Chem. Eng*, **36(1)**: 35-43(2017)
- [18] Gastpar H., *The Inhibition of the Cancer Stickiness by Pyrimido-Pyrimidine Derivates Induced by Inhibition of Platelet Aggregation, Acta Medica Scandinavica Supplementum*, **525**: 269-271 (1972).
- [19] Bunag R. D., Douglas C. R., Imai S., Berne R. M., *Influence of a pyrimidopyrimidine derivative on deamination of adenosine by blood, Circulation Research*, **15(1)**: 83-88 (1964).
- [20] Emmons P.R., Harrison M.J.G., Honour A.J., Mitchell J.R.A., *Effect of a Pyrimidopyrimidine Derivative on Thrombus Formation in the Rabbit, Nature*, **208**: 255-257 (1965).
- [21] De la Cruz J.P., Carrasco T., Ortega G., De la Cuesta F.S., *Inhibition of Ferrous-Induced Lipid Peroxidation by Pyrimido-Pyrimidine Derivatives in Human Liver Membranes, Lipids*, **27(3)**: 192-194 (1992).

- [22] Fang Y., Xu J., Li Z., Yang Z., Xiong L., Jin Y., Chang S., **Design and Synthesis of Novel Pyrimido [5, 4-d] Pyrimidine Derivatives as GPR119 Agonist for Treatment of Type 2 Diabetes**, *Bioorganic Medicinal Chemistry*, **26(14)**: 4080-4087 (2018).
- [23] Haggarty S.J., Mayer T.U., Miyamoto D.T., Fathi R., King R.W., Mitchison T.J., Schreiber S.L., **Dissecting Cellular Processes using Small Molecules: Identification of Colchicine-Like, Taxol-Like and other Small Molecules that Perturb Mitosis**, *Chemistry Biology*, **7(4)**: 275-286 (2000).
- [24] Reddy M.V., Kim J.S., Lim K.T., Jeong Y.T., **Polyethylene Glycol (PEG-400): an Efficient Green Reaction Medium for the Synthesis of Benzo [4,5] Imidazo[1,2-a]-Pyrimido [4,5-d] Pyrimidin-4 (1H)-Ones under Catalyst-Free Conditions**, *Tetrahedron Letters*, **55(47)**: 6459-6462 (2014).
- [25] Liu J., Lei M., Hu L., **A Catalyst-Free Reaction in Water: Synthesis of Benzo [4,5] Imidazo[1,2-a] Pyrimido [4,5-d] Pyrimidin-4 (1H)-One Derivatives**, *Green Chemistry*, **14(9)**: 2534-2539 (2012).
- [26] Abdelazeem N., Basyouni W., Abbas S., El-Bayouki K., El-kady M., **Silica Sulfuric Acid/Ethylene Glycol: An Efficient Eco-Friendly Catalyst for One-Pot Synthesis of Tricyclic and Tetarecyclic Dihydropyrimidine Derivatives**, *Egyptian Journal of Chemistry*, **62(12)**: 2265-2276 (2019).
- [27] Kalhor M., Zarnegar Z.,  **$\text{Fe}_3\text{O}_4/\text{SO}_3\text{H}$ @zeolite-Y as a Novel Multi-Functional and Magnetic Nanocatalyst for Clean and Soft Synthesis of Imidazole and Perimidine Derivatives**, *RSC Advances*, **9(34)**: 19333-19346 (2019).
- [28] Kalhor M., Banibairami S., Mirshokraie S.A., **Ni@zeolite-Y Nanoporous; a Valuable and Efficient Nanocatalyst for the Synthesis of N-Benzimidazole-1, 3-Thiazolidinones**, *Green Chemistry Letters and Reviews*, **11(3)**: 334-344 (2018).
- [29] Kalhor M., Zarnegar Z.,  **$\text{Fe}_3\text{O}_4/\text{SO}_3\text{H}$ @zeolite-Y as a Novel Multi-Functional and Magnetic Nanocatalyst for Clean and Soft Synthesis of Imidazole and Perimidine Derivatives**, *RSC Advances*, **9**: 19333-19346 (2019).
- [30] Kalhor M., Zarnegar Z., Seyedzade Z., Banibairami S.,  **$\text{SO}_3\text{H}$ -Functionalized Zeolite-Y as an Efficient Nanocatalyst for the Synthesis of N-Benzimidazole-2-Aryl-4-Thiazolidinones and Tri-Substituted Imidazoles**, *Current Organic Synthesis*, **17(2)**: 117-130 (2020).
- [31] Perez-Pariente J., Martens J.A., Jacobs P.A., **Crystallization Mechanism of Zeolite Beta from  $(\text{TEA})_2\text{O}$ ,  $\text{Na}_2\text{O}$  and  $\text{K}_2\text{O}$  Containing Aluminosilicate Gels**, *Applied Catalysis*, **31(1)**: 35-64 (1987).
- [32] Yang C., Xu Q., **Aluminated Zeolites  $\beta$  and their Properties, Part 1. Alumination of Zeolites  $\beta$** , *Journal of the Chemical Society, Faraday Transactions*, **93(8)**: 1675-1680 (1997).
- [33] Endang P.S., Rahadian A.R., Ulva T.I.M., Alvin R.W., Rendy M.I., Nurul W., **The  $\text{MnO}_2$ /Zeolite NaY Catalyzed Oxidation of CO Emission in Catalytic Converter System**, *In Materials Science Forum*, **964**: 199-208 (2019).